

鹽溶液에 침지한 콘크리트의劣化에 대한研究

문한영* ○ 김기형** 김성수***

ABSTRACT

In this paper, mortar and concrete specimens made with four cements were immersed in $MgCl_2$, $MgSO_4$ Solution and artificial Seawater which was corresponded with Seawater. The hydration products of immersed cement pastes were looked over by using SEM, EDS and X-ray diffraction method. The results show that the concrete made with domestic flyash cement and blast-furnace slag cement is superior to that of ordinary portland cement in resistance to chloride and sulphate solution. Especially, it is found that the attack of Cl^- ion on the concrete plays an important role of the deterioration of concrete.

1. 서 론

海洋環境下에서 콘크리트 구조물을 축조할 경우,海水속의 Cl^- 이온과 SO_4^{2-} 이온등이 콘크리트를侵蝕,劣化시키는 주요 요인이 된다고 한다.그러므로海水에 대한 콘크리트 구조물의 저항성을 개선시키기 위한 목적으로 보통포틀랜시멘트에 耐海水性이 우수함을 인정받고 있는 플라이애쉬, 고로슬래그를 혼합한 혼합시멘트를 대체 사용하는 방안이 많이 응용되고 있다.¹⁻⁵⁾

본 연구에서는 국내화력발전소에서 석탄을 연료로 사용하여 발생하는 플라이애쉬와 포항종합제철에서 선철을 제련하고 폐기되는 산업부산물인 고로슬래그를 보통포틀랜드시멘트에 각각混合한 플라이애쉬 혼합시멘트 2종류와 고로슬래그시멘트 및 보통포틀랜드시멘트를 사용하여 재조한 시멘트풀, 모르터 및 콘크리트 공시체를 人工海水, $MgCl_2$ 및 $MgSO_4$ 3종류의鹽溶液에 재령 91일간 침지한 시멘트풀의劣化의 상태를 SEM사진으로 관찰하고 EDS로 원

소를 분석하였으며, 수화생성물의 변화를 X선회절분석하였다. 한편, 모르터 및 콘크리트 공시체를 재령별로 강도 및 중량변화를 측정하여 鹽溶液에 의한侵蝕,劣화의 정도를 고찰하였다.

2. 실험개요

2-1. 사용재료

(1) 결합재 및 물재: 보통포틀랜드시멘트, 고로슬래그시멘트 및 플라이애쉬의 화학성분 및 물리적 성질은 표-1과 같다.

표-1. 시멘트 및 플라이애쉬의 화학성분 및 물리적 성질

항목 종류	화학성분 (%)							비중 (cm ³ /g)
	SiO ₂	Al ₂ O ₃	Fe ₂ O ₃	CaO	MgO	SO ₃	loss	
보통포틀랜드시멘트	21.80	5.84	3.56	60.62	3.54	2.58	0.95	3.15
고로슬래그시멘트	27.98	7.22	4.80	52.72	4.64	1.59	0.35	2.96
플라이애쉬	56.40	26.60	5.50	0.02	0.30	-	6.25	2.14
								4.092

* 한양대학교 토목공학과 교수

** 한양대학교 대학원 석사과정수료

*** 한양대학교 대학원 석사과정

잔골재와 굵은골재의 비중은 각각 2.62 및 2.68인 한강산을 사용하였다.

(2) 시험용시약 : 실험에 사용한 $MgCl_2$ 및 $MgSO_4$ 의 용액농도는 각각 10%이고, 人工海水는 ASTM D1141에 의해 표-2의 2배 농도로 제조하여 사용하였으며, 각각 용액의 온도를 상온으로 유지시켰다.

표-2. 人工海水의 組成

NaCl	24.53(g/l)
$MgCl_2 \cdot 6H_2O$	5.20 "
Na_2SO_4	4.09 "
$CaCl_2$	1.16 "
KCl	0.695 "

2-2. 실험방법 및 콘크리트배합

(1) 압축강도 및 중량시험 : 모르터 및 콘크리트 공시체를 7일간 수중에서 양생시킨 후 3종류의 용액에 침지시켜 재령 28일, 60일 및 91일에 압축강도와 중량을 측정하였다.

(2) 走査型電子顯微鏡 (SEM) 및 EDS(Energy Dispersive X-ray Spectrometer)分析 : 시험용액에 침지시킨 각시료를 SEM에 의해 3000倍로 확대하여 사진을 찍었으며 EDS로 원소분석을 실시하였다.

(3) X선회절분석 : 시험용액에 침지시킨 각각의 시멘트풀 시료를 粉末法에 의하여 X선회절분석을 하였다.

(4) 콘크리트 배합 : 콘크리트의 물결합재비 50%, 슬럼프 $7 \pm 1 cm$, 결합재량을 350kg로 정하였다. 단, 플라이애쉬는 보통포틀랜드 시멘트에 20 및 30%로 혼합하였다.

3. 실험결과에 대한 고찰

3-1. 10% $MgCl_2$ 용액에 침지한 콘크리트의劣化에 대한 考察

콘크리트를 염화물에 침지하였을 때 재령에 따른 Cl^- 이온의 침투 정도에 따라劣화의 정도가 다르다고 한다.⁶⁾ 콘크리트 구조물이 염

화물에 의해 영향을 받을 때 강도 및 중량에 어떠한 변화가 있는지 알아보기 위해 시멘트와 혼화재의 양이 각각 다른 4종류의 콘크리트를 제조하여 재령 91일까지 10% $MgCl_2$ 용액에 침지시켜 압축강도를 측정한 것이 그림-1이다. 이 그림은 수중 침지한 콘크리트의 압축강도를 100으로 취한 것으로서 재령이 증가할수록 압축강도비가 감소되고 있음을 알 수 있으며, 보통포틀랜드 시멘트를 사용한 콘크리트가 가장 많이 감소되었으며, 고로슬래그와 플라이애쉬를 섞은 혼합시멘트 콘크리트의 강도 감소가 상대적으로 적음을 알 수 있다.

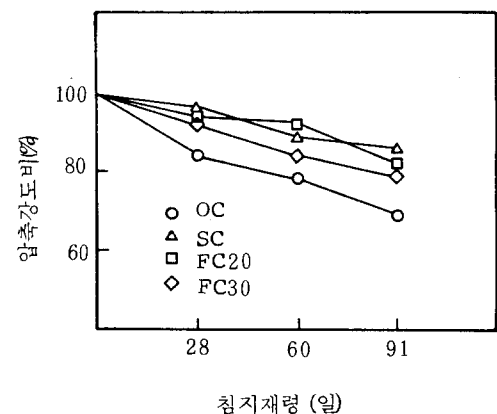


그림-1. 10% $MgCl_2$ 용액에 침지한 콘크리트의 압축강도비와 재령과의 관계

이번에는 10% $MgCl_2$ 용액에 침지한 모르터 및 콘크리트의 중량을 측정하여 압축강도비와 중량비와의 관계로 나타낸 것이 그림-2이다. 이 그림에서 알 수 있듯이 모르터와 콘크리트 다같이 재령이 증가할수록 중량은 증가되고 있으나, 반면 압축강도비는 감소되는 현상을 나타내고 있으며 그 경향은 보통포틀랜드 시멘트를 사용한 경우가 가장 심하게 나타남을 알 수 있다. 이러한 현상은 용액중의 Cl^- 이온이 콘크리트 내부로 침투함에 따라 용액중에 남아있

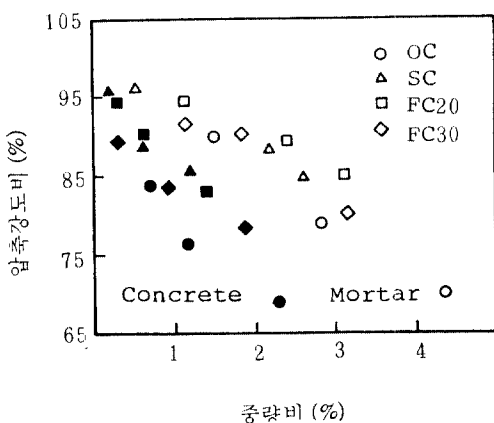


그림 - 2. 10 % $MgCl_2$ 용액에 침지한 보드터 및 콘크리트의 압축강도비와 중량비와의 관계

는 Mg^{2+} 이온이 시멘트 수화물인 $Ca(OH)_2$ 와 반응하여 생성된 $Mg(OH)_2$ 가 콘크리트 표면에 백색의 固體結晶으로 존재함으로서 중량의 증가현상을 나타내었다고 생각되며 콘크리트 내부로 침투한 Cl^- 이온은 시멘트 수화물과 반응하여 가용성의 $CaCl_2$ 가 되어 용출됨으로서 콘크리트 内部가 多孔化되어 강도를 감소시키는 요인이 되었다고 생각된다.

콘크리트 내부에 Cl^- 이온이 침투 되었을 때 콘크리트 내부의 상태를 알아보기 위하여 3 종류의 시멘트풀을 10 % $MgCl_2$ 용액에 재령 60 일간 침지시켜 SEM사진의 관찰 및 EDS 분석을 실시한 것이 그림 - 3 이다.

그림 - 3 . (a)의 보통포틀랜드 시멘트의 SEM 사진을 관찰해보면, (b)와 (c)의 혼합시멘트 보다 수화생성물이 많이 분해되었음을 알 수 있으며, 이를 사진을 EDS분석해 본 결과 보통포틀랜드 시멘트 풀의 경우, Cl^- 및 Mg 성분이 비교적 많이 침투되었음을 알 수 있었다. 다음은 이들 Cl^- 이온과 Mg^{2+} 이온이 콘크리트 내부의 시멘트 수화물과 반응하여 어떤 물질을 만드는지를 알아보기 위하여 X선 회절분석을 실시한 것이 그림 - 4 이다.

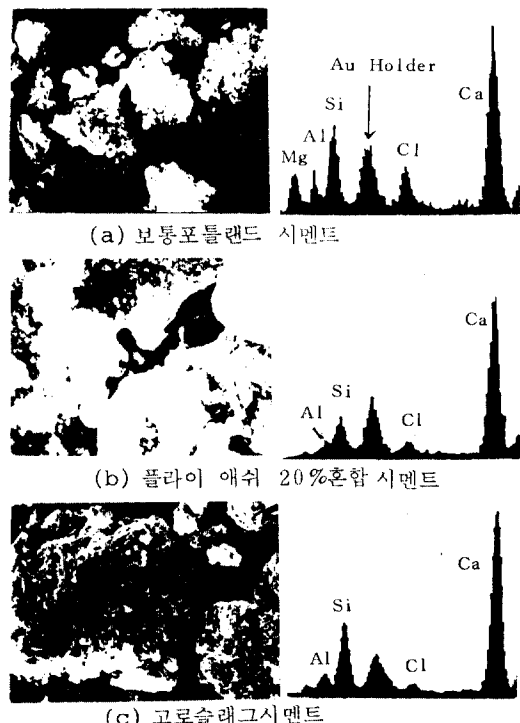


그림 - 3. SEM사진 및 EDS 분석 결과

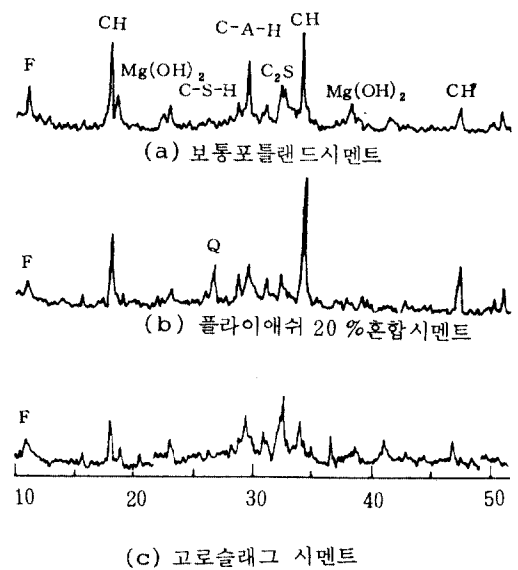


그림 - 4 . X선 회절도

이 그림에서 시멘트 수화시 생성된 수산화 칼슘 (CH), 칼슘알루미네이트계 수화물 ($\text{C}-\text{A}-\text{H}$), 및 칼슘실리케이트계 수화물 ($\text{C}-\text{S}-\text{H}$) 및 미수화한 C_2S 의 피크가 나타나고 있으며, 플라이애쉬의 20 % 혼합시멘트에서는 플라이애쉬의 성분인 석영 (Q)이 나타났다. 또한 용액 중의 Cl^- 이온과 Mg^{2+} 이온의 침투로 인하여 Friedel's염(F)과 $\text{Mg}(\text{OH})_2$ 가 생성되었음을 알 수 있다.

이상의 실험결과로서 플라이애쉬 20 % 혼합 시멘트와 고로슬래그 시멘트가 鹽溶液에 대한 저항성이 보통포틀랜드 시멘트보다 얼마간 개선되었음을 알 수 있다.

3-2. 10 % MgSO_4 용액에 침지한 콘크리트의劣化에 대한 考察.

황산암에 침지한 콘크리트의 강도 및 종량 변화를 알아보기 위하여 4종류의 콘크리트를 제조하여 10 % MgSO_4 용액에 재령 91일 까지 침지한 후 재령별 압축강도비를 성과한 것이 그림-5이다.

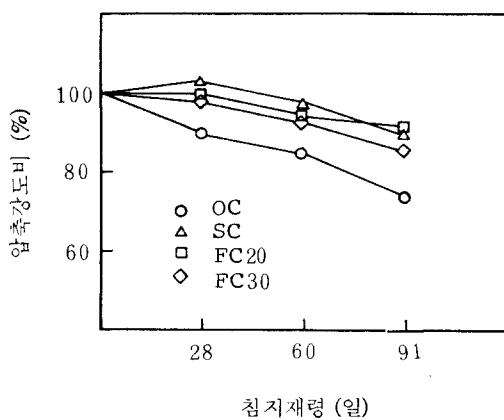


그림-5. 10 % MgSO_4 용액에 침지한 콘크리트의 압축강도비와 재령과의 관계

이 그림에서 고로슬래그 시멘트 (SC) 와 플라이애쉬 20 및 30 % 혼합한 시멘트 (FC20,

FC30) 를 사용하여 제조한 콘크리트의 재령 28 일에서의 압축강도비는 약간 증가하였으나 재령이 경과할수록 감소하는 경향을 나타내는 반면, 보통포틀랜드 시멘트를 사용한 콘크리트는 초기재령에서부터 강도감소 현상을 나타내었다. 그래서 재령에 따른 콘크리트의 중량변화를 측정해 본 결과 보통포틀랜드 시멘트를 사용한 콘크리트는 재령 28일까지는 약간 증가하였으나 재령의 증가에 따른 변화는 거의 없었다. 또한 혼합 시멘트 콘크리트의 중량변화도 거의 없음을 알 수 있었다.

그림-6에서 10 % MgSO_4 용액에 60일간 침지한 3종류의 시멘트 풀을 SEM으로 찍은 사진을 관찰해 보았으나 별다른 반응생성물을 발견할 수 없었으며 EDS로 원소분석을 한 결과도 SEM에서와 같이 황산마그네슘 용액의 침투물질은 나타나지 않았다. 또한 X선 회절분석을 한 결과 약간의 $\text{Mg}(\text{OH})_2$ 는 나타났으나 재령 60일 정도의 짧은 침지 기간으로

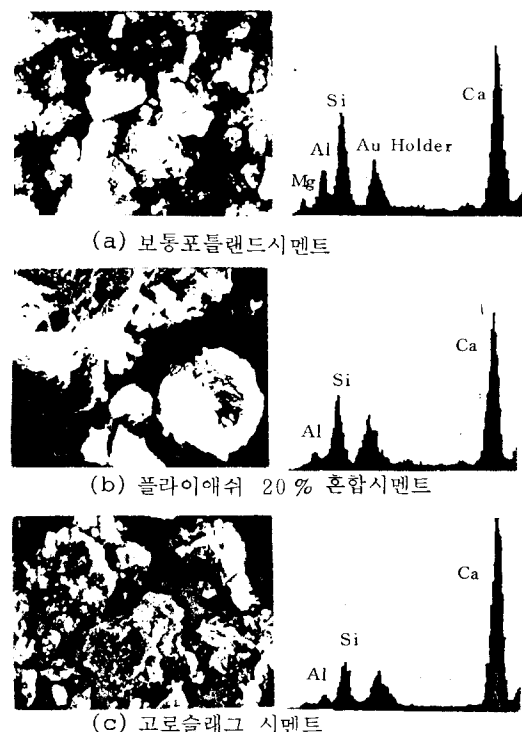


그림-6. SEM사진 및 EDS 분석 결과

는 반응생성물은 찾기 어려웠으며, 적어도 1년 이상을 침지하게 되면 침투된 SO_4^{2-} 이온과 수화생성물 $\text{Ca}(\text{OH})_2$ 와의 반응으로 생성된 석고 ($\text{CaSO}_4 \cdot 2\text{H}_2\text{O}$) 와 칼슘알루미네이트계 수화물과 반응하여 팽창성 물질인 Ettringite ($3\text{CaO} \cdot \text{Al}_2\text{O}_3 \cdot 3\text{CaSO}_4 \cdot 32\text{H}_2\text{O}$) 가 생성되어 콘크리트가劣化한다고 한다.⁷⁾

3-3. 人工海水에 침지한 콘크리트의劣化에 대한 찰

海水에 의한化學的侵蝕作用은 Cl^- 이온 및 SO_4^{2-} 이온의 농도에 따라 다를 뿐만 아니라 각종 염류들의 공존비율에 따라서도 달라진다고 한다.⁸⁾

본 연구에서는 2배농도의人工海水에서 4종류의 콘크리트를 재령 91일간 침지한 후 압축강도를 측정하여 정리한 것이 그림-7이다.

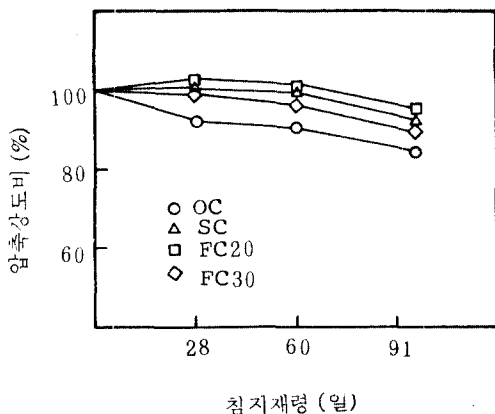


그림-7. 人工海水에 침지한 콘크리트의 압축강도비와 재령과의 관계

이 그림에서 고로슬래그 시멘트와 플라이애쉬를 혼합한 시멘트를 사용한 콘크리트의 경우 재령 60일까지는 압축강도비의 변화가 거의 없었으며, 재령 91일에서 얼마간 감소됨을 알 수 있었다. 한편 플라이애쉬 20% 혼합시멘트 콘크리트의 강도 감소가 가장 크게 나타났으며 보통포틀랜드 시멘트를 사용한 콘크리트의 경우에는 재령초기부터 강도의 감소현상을 나타내었다. 그래서 콘크리트의 중량을

측정해 본 결과 황산마그네슘에 침지한 경우와 마찬가지로 중량의 변화는 거의 없었다. 다음은海水中の 각종 이온들이 콘크리트 내부로 침투되어 어떠한 형태를 이루는지를 알아보기 위해 SEM사진 관찰 및 EDS로서 분석한 결과가 그림-8이다.

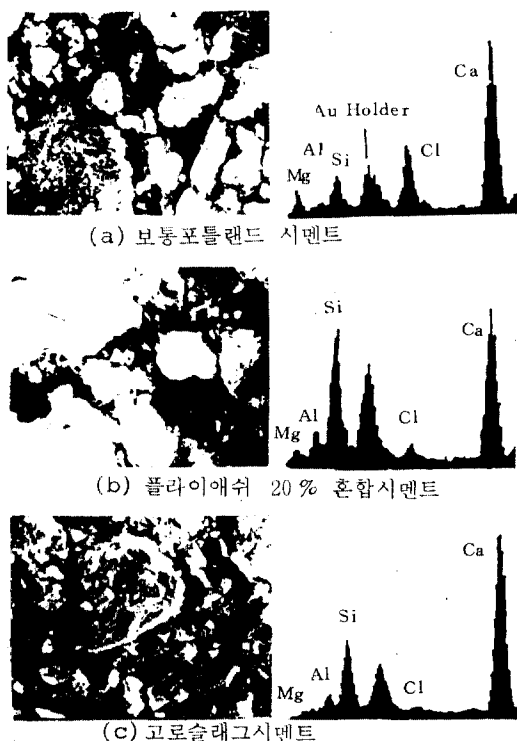


그림-8. SEM사진 및 EDS 분석 결과

이 그림에서 SEM사진에 의하면 전반적으로水和生成物의 内部가 多孔化되었음을 알 수 있으며, 그 정도는 보통포틀랜드 시멘트가 가장 크게 나타났다. 한편 EDS분석결과 Ca, Si 및 Al 성분이 주성분으로 나타났으며 그림(a) 보통포틀랜드 시멘트풀의 수화생성물속의 Cl, Mg 성분은 人工海水에 의해 침투되었다고 생각된다.

그림-8의 (b), (c)에서는 Cl성분만 조금 나타났을뿐 다른 성분은 발견되지 않았다.

이번에는 인공해수에 침지한 시멘트풀의 수화생성물을 알아보기 위하여 X선 회절 분석한 것이 그림-9이다.

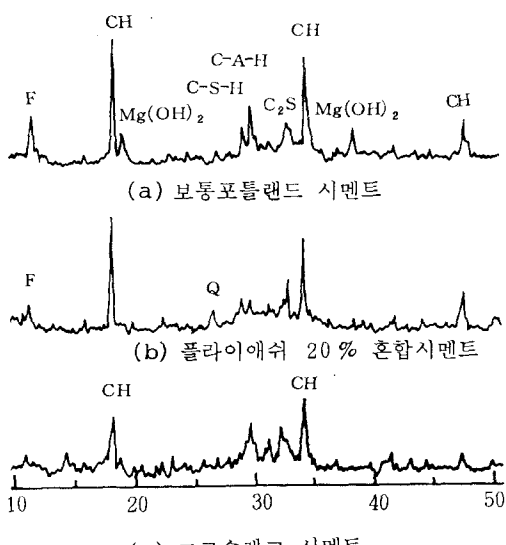


그림-9. X선 회절도

이 그림에서 수화생성물은 주로 수산화칼슘과 칼슘실리케이트계 수화물임을 알 수 있었으며人工海水中的 Cl^- 이온의 침투로 인하여 Friedel's염과 Mg^{2+} 이온의 반응물인 $\text{Mg}(\text{OH})_2$ 가 생성되었음을 확인할 수 있었으나 SO_4^{2-} 이온이나 다른 이온들에 의한 반응생성물은 발견되지 않았다. 그래서 3종류의 X선회절분석 결과를 비교해 보면 그림-9(a)의 보통포틀랜드 시멘트의 경우 Friedel's염과 $\text{Mg}(\text{OH})_2$ 의 피크 강도가 뚜렷하게 나타나고 있는 반면 (b), (c)의 혼합시멘트의 경우가 거의 나타나지 않고 있음을 알 수 있다.

이상에서 고찰한 바에 따르면 혼합시멘트가 海水에 대한 저항성이 보통포틀랜드 시멘트 보다 대체로 우수한 결과를 나타냄을 알 수 있었다.

4. 결론

(1) 염화마그네슘 용액에 침지한 콘크리트는 재령이 증가하는데 따라 압축강도가 감소되는 반면 중량은 얼마간 증가하였으며 혼합시멘트를 사용한 콘크리트가 보통포틀랜드 시멘트를 사용한 콘크리트보다 강도의 감소가 적었다. 한편 시멘트풀의 수화생성물을 EDS

및 X선회절분석해 본 결과 보통포틀랜드 시멘트에 Cl^- 이온이 많이 침투되었음을 알 수 있었으며 Cl^- 이온의 침투 정도가 콘크리트를 침식시키는 중요한 요인임을 알 수 있었다.

(2) 황산마그네슘 용액에 침지한 콘크리트의 압축강도 감소는 염화마그네슘용액에 침지한 콘크리트에 비해 적게 나타났으며, 중량변화는 거의 없었다. 그래서 수화생성물을 분석해 보았으나 재령 60일에서는 SO_4^{2-} 이온의 침투물질이 발견되지 않았다. 이는 SO_4^{2-} 이온의 침투속도가 Cl^- 이온의 침투속도보다 빠르지 못한 탓으로 생각되며 황산마그네슘은 염화마그네슘보다 콘크리트의 침식에 영향을 적게 미친다고 생각된다.

(3) 인공해수에 침지한 콘크리트의 압축강도의 감소율은 플라이애쉬 20% 혼합시멘트가 가장 적은 반면 Cl^- 이온이 가장 많이 침투된 보통포틀랜드 시멘트의 압축강도 감소율이 제일 크게 나타났다. 이상의 결과를 종합해 볼 때 플라이애쉬 혼합시멘트나 고로슬래그 시멘트와 같은 혼합시멘트가 보통포틀랜드 시멘트보다 海水에 대한 抵抗性이 우수함을 알 수 있었다.

참고문헌

- 小林和一, 外1名, “セメントの化學抵抗性に関する研究”, セメント技術年報 30, 1979.
- P.K. Mehta, “Effect of Flyash Composition on Sulphate Resistance of Cement”, ACI JOURNAL, NOV.-DEC., 1986.
- 西林新藏, 外3名, “コンクリートの耐海水性に関する研究”, セメント技術年報 34, 1980.
- 文翰英. 徐政佑. 孫亨虎, “플라이애쉬를 混合한 콘크리트의 耐海水性에 관한 研究”, 大韓土木學會論文集 第8卷 第1號. 1988年3月.
- 尾野幹也, 外3名, “セメント硬化體に與える海水の化學的侵食のメカニズム”, 1978.
- 鈴川論一, 外2名, “各種セメントの 鹽化物抵抗性に関する研究”, セメント・コンクリート, 1975.
- 小林和一, 外2名, “各種セメントの 耐硫酸鹽に関する研究”, セメント技術年報 28, 1974.
- 秋葉徳二, 外2名, “コンクリートの海水に與る侵食に関する研究” セメント技術年報 34, 1980.